

УДК 539.376

**УСТАНОВИВШАЯСЯ ПОЛЗУЧЕСТЬ ДЛИННОЙ УЗКОЙ ПРЯМОУГОЛЬНОЙ
МЕМБРАНЫ ВНУТРИ НИЗКОЙ ЖЕСТКОЙ МАТРИЦЫ
ПРИ ПРОПОРЦИОНАЛЬНОЙ ЗАВИСИМОСТИ
ВЕЛИЧИНЫ ПОПЕРЕЧНОГО ДАВЛЕНИЯ ОТ ВРЕМЕНИ**

© 2022 г. А. Ф. Ахметгалеев^{a,*}, А. М. Локощенко^{a,**}, Л. В. Фомин^{a,b,***}

^a Научно-исследовательский институт механики Московского государственного университета
им. М.В. Ломоносова, Москва, Россия

^b Самарский государственный технический университет, Самара, Россия

*e-mail Achmet206A@yandex.ru

**e-mail loko@imec.msu.ru

***e-mail fleonid1975@mail.ru

Поступила в редакцию 04.03.2021 г.

После доработки 09.04.2021 г.

Принята к публикации 24.05.2021 г.

Исследуется задача об установившейся ползучести длинной узкой прямоугольной мембраны в стесненных условиях внутри жесткой матрицы при пропорциональном возрастании величины поперечного давления от времени (с разными скоростями). Задача решается с учетом геометрической и физической нелинейности. В задаче рассматривается длинная жесткая матрица прямоугольного сечения, в которой высота не больше половины ширины. Рассматриваются два варианта условий контакта мембраны и матрицы: идеальное скольжение и прилипание. В данной работе исследованы три стадии ползучести мембраны. На первой стадии мембрана деформируется в условиях установившейся ползучести вплоть до момента касания поперечной стенки матрицы. Вторая стадия заканчивается в момент касания мембраной продольных стенок матрицы. На третьей стадии мембрана контактирует с матрицей по поперечной и продольным сторонам. Расчет проводится до времени практически полного прилегания мембраны к матрице. Представляет интерес сравнение этих времен при различных контактных условиях. В общем случае соотношение этих времен зависит от двух параметров: показателя степени в определяющем уравнении установившейся ползучести материала мембраны и величины безразмерной высоты матрицы. В данной задаче при различных скоростях возрастания величины поперечного давления и при различных степенях близости мембраны к матрице времена окончания стадий нагружения при идеальном скольжении меньше, чем при прилипанию. Результаты исследований могут быть использованы при расчетах формовки мембраны в жесткой матрице.

Ключевые слова: длинная узкая мембрана, установившаяся ползучесть, низкая жесткая матрица, поперечное давление, идеальное скольжение, прилипание

DOI: 10.31857/S0572329922020027

1. Введение. Данная работа посвящена аналитическому исследованию установившейся ползучести в стесненных условиях длинной узкой прямоугольной мембраны, закрепленной вдоль длинных сторон и нагруженной равномерным поперечным давлением q , которое может изменяться во времени t по заданному закону. Решение этой

задачи в свободных условиях при различных физических и геометрических условиях приведено в монографиях Оdkвиста [1], Л.М. Качанова [2], Сторакерса [3].

В [4] проведено экспериментальное измерение деформации мембран из разных эластомеров. В [5] исследовано раздувание круглой мембраны при больших деформациях. Вязкоупругие характеристики материала мембраны описываются нелинейным интегральным определяющим уравнением. Представленный численный метод решения сочетает методы решения нелинейных интегральных уравнений Вольтерра и нелинейных обыкновенных дифференциальных уравнений.

В [6–8] приведены результаты теоретического исследования ползучести и длительной прочности мембран из анизотропных материалов. В [6] приведена математическая модель процесса изотермического свободного деформирования узкой прямоугольной мембраны из анизотропного листового материала, подчиняющегося энергетическому варианту кинетической теории ползучести и длительной прочности. Установлено, что с ростом коэффициента нормальной анизотропии предельные возможности исследованных процессов формоизменения возрастают. В [6, 7] приведена математическая модель процесса изотермического свободного деформирования узкой прямоугольной мембраны из анизотропного листового материала, подчиняющегося энергетическому варианту кинетической теории ползучести и длительной прочности. Показано влияние анизотропии механических свойств материала, геометрических размеров заготовки и накопления поврежденности на напряженное деформированное состояние заготовки, силовые режимы и предельные возможности формообразования. На основе разработанных математических моделей деформирования выполнены теоретические исследования процессов изотермического свободного деформирования узкой прямоугольной мембраны, формообразования угловых элементов многослойных конструкций, штамповки и калибровки трапециевидных элементов трехслойных листовых конструкций из анизотропных высокопрочных материалов в режиме кратковременной ползучести [8]. Выполнено сопоставление результатов расчетов при анализе изотермического свободного деформирования узкой прямоугольной мембраны в предположении переменной и постоянной толщин стенки вдоль дуги окружности.

Особый интерес представляет исследование ползучести рассматриваемой мембраны внутри жесткой матрицы. Ефимов А.Б. с соавторами [9] составили обзор основных феноменологических закономерностей, описывающих постановку задачи контактно-взаимодействия общего вида.

В монографиях [10, 11] рассмотрен цикл задач о ползучести такой мембраны внутри жесткой матрицы. В [11] приведены решения задач при учете различных форм матриц: клиновидной [12], криволинейной [13] и прямоугольной при различных условиях на контакте мембраны и матрицы. Во всех приведенных решениях величина равномерного поперечного давления q не зависит от времени t . В различных решениях использовались разные модели ползучести: установившаяся, неуставившаяся, дробно-степенная. В случае применения дробно-степенной модели ползучести [14] в зависимости от контактных условий с течением времени мембрана либо заполняет пространство внутри матрицы за конечное или бесконечное время, либо разрушается внутри матрицы [12]. В [15] приведено решение аналогичной задачи об установившейся ползучести мембраны при кусочно-постоянной зависимости скорости изменения величины поперечного давления от времени.

В [12] проведено моделирование деформирования длинной узкой прямоугольной мембраны внутри жесткой клиновидной матрицы при различных подходах и различных краевых условиях. Получены все основные соотношения, характеризующие напряженно-деформированное состояние мембраны на различных стадиях деформирования. Приведены результаты численных экспериментов, в которых исследуются осо-

бенности деформирования мембран вплоть до разрушения. Аналогичное решение для П-образной матрицы приведено в [16].

В [17] исследована деформация нелинейной вязкоупругой однородной сферической мембраны, содержащей несжимаемую жидкость между двумя жесткими параллельными пластинами. Материал мембраны моделируется нелинейным интегральным определяющим соотношением, которое в частном случае включает квазилинейную вязкоупругость.

В статье Р.А. Васина с соавторами [18] приведено экспериментально-теоретическое исследование ползучести мембран в стесненных условиях. Сформулированы особенности процедуры идентификации определяющих соотношений (нахождения материальных констант) по результатам экспериментов. Приведены методика и результаты определения материальных констант из экспериментов по формовке цилиндрических и сферических оболочек из листовых заготовок.

Методика идентификации определяющих соотношений уравнения ползучести, основанная на использовании упрощенной инженерной модели процесса сверхпластической формовки листового проката в прямоугольную матрицу, построена в рамках основных предположений безмоментной теории оболочек [19]. Применимость этой упрощенной модели обоснована путем прямого сопоставления результатов аналитических расчетов с экспериментальными данными.

Авторы [20] представили теоретическое и численное исследования деформирования нелинейной вязкоупругой прямоугольной мембраны, нагруженной равномерным давлением.

Авторами [21] описаны большие контактные деформации и явление адгезии между раздутой гиперупругой мембраной и жесткой подложкой. Исходная форма мембраны – плоская, круглая, закрепленная по краю. Допустимы два условия контакта между мембраной и подложкой: контакт без трения и прилипание. Проведен анализ энергетического баланса без учета диссипации энергии.

В [22] изучается контакт длинной прямоугольной упругой мембраны с жесткой подложкой. Построенная модель основана на теории конечных деформаций. Учтены два условия контакта: идеальное скольжение и прилипание, для контакта без трения получено точное решение в замкнутой форме.

2. Постановка задачи. В данной работе исследуется установившаяся ползучесть мембраны толщины H_0 внутри жесткой матрицы прямоугольной формы. Ширина, длина и высота матрицы равны соответственно $2a$, L , b . Отношение высоты матрицы к половине ширины удовлетворяет неравенству $\frac{b}{a} \leq 1$ (рис. 1). Ширина мембраны $2a$ и ее длина L удовлетворяет неравенству $\frac{2a}{L} \ll 1$. Здесь рассматривается не постоянная величина поперечного давления $q(t) = \text{const}$, а пропорциональная зависимость величины $q(t)$

$$q(t) = q_0 k \frac{t}{t_0} \quad (2.1)$$

Для описания деформирования мембраны при $t > 0$ (t – время) используется степенная модель установившейся ползучести материала

$$\frac{dp_u}{dt} = \frac{1}{t_0} \left(\frac{\sigma_u}{\sigma_0} \right)^n \quad (2.2)$$

в которой σ_u и \dot{p}_u – интенсивности напряжений и скоростей деформаций ползучести соответственно, σ_0 , t_0 и n – постоянные величины соответствующей размерности.

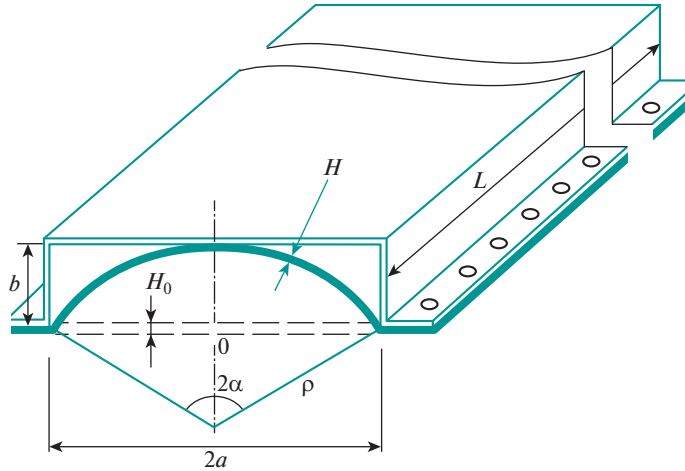


Рис. 1. Общий вид.

Координаты поперечного сечения мембраны и матрицы назовем x и y (рис. 2). На первой стадии мембрана, плоская в начальном состоянии, под действием давления q деформируется, приобретая форму незамкнутой круговой цилиндрической оболочки с центральным углом 2α . При этом на первой стадии мембрана деформируется в условиях установившейся ползучести вплоть до касания поперечной стенки жесткой матрицы; можно показать, что угол раствора мембраны в конце этой стадии равен

$$2\alpha_1 = 2 \arcsin \left(\frac{2ab}{a^2 + b^2} \right)$$

При моделировании напряженно-деформированного состояния мембраны рассматриваются главные напряжения (радиальное σ_{rr} , окружное $\sigma_{\theta\theta}$ и осевое σ_{zz}) и соответствующие компоненты тензора деформаций ползучести p_{rr} , $p_{\theta\theta}$ и p_{zz} .

Рассматривая элемент мембраны (рис. 3), принимая напряжения в элементе равномерно распределенными по толщине и записывая уравнения равновесия в проекциях на нормаль и касательную, получаем:

$$\sigma_{\theta\theta} = \frac{q\rho}{H}, \quad d(\sigma_{\theta\theta}H) = 0 \quad (2.3)$$

где ρ – радиус кривизны срединной поверхности, H – толщина мембраны.

Следовательно,

$$\sigma_{\theta\theta}H = \text{const} \quad (2.4)$$

Сопоставляя (2.3) и (2.4), заключаем, что в случае равномерного давления радиус кривизны срединной поверхности во всех ее точках один и тот же ($\rho = \text{const}$), т.е. срединная поверхность мембраны при ее деформировании является частью поверхности кругового цилиндра с некоторым углом раствора 2α [3]. В этом случае очевидно, что если толщина мембраны до деформации постоянна, то она постоянна и после деформации. Следовательно, согласно (2.3) окружное напряжение по длине окружности радиуса ρ не изменяется.

3. Свободное деформирование мембраны в условиях ползучести (первая стадия). Введем безразмерные переменные:

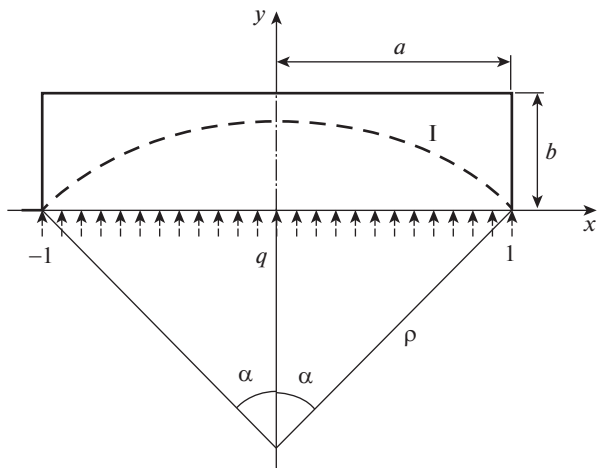


Рис. 2. Первая стадия деформирования.

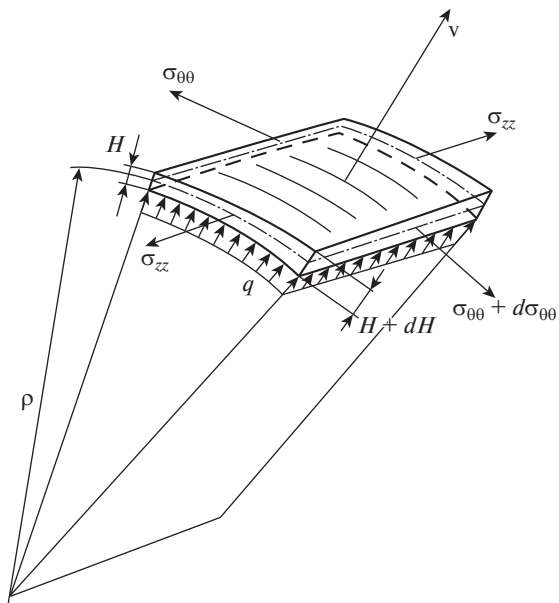


Рис. 3. Элемент мембраны.

$$\bar{q} = \frac{q}{\sigma_0}, \quad \bar{t} = \frac{t}{t_0}, \quad \bar{H} = \frac{H}{H_0}, \quad \bar{H}_0 = \frac{H_0}{a}, \quad \bar{b} = \frac{b}{a}, \quad \bar{x} = \frac{x}{a}, \quad \bar{y} = \frac{y}{a} \quad (3.1)$$

$$\bar{x}_0 = \frac{x_0}{a}, \quad \bar{y}_0 = \frac{y_0}{a}, \quad \bar{\rho} = \frac{\rho}{a}, \quad \bar{\sigma}_{ij} = \frac{\sigma_{ij}}{\sigma_0} \quad (i, j = 1, 2, 3)$$

x и y – горизонтальная и вертикальная координаты поперечного сечения матрицы, x_0 и y_0 – координаты точек касания мембраны и матрицы.

Далее черточки над всеми безразмерными переменными (3.1) опустим. При этом под скоростью всюду понимаются производные по безразмерному времени.

В качестве связи компонент тензоров напряжений и скоростей деформаций ползучести примем гипотезу пропорциональности соответствующих девиаторов (см., например, [4]):

$$\begin{aligned} \dot{\rho}_{ij} &= \frac{3f(\sigma_u)}{2\sigma_u}(\sigma_{ij} - \sigma), \quad \sigma = \frac{1}{3}(\sigma_{rr} + \sigma_{\theta\theta} + \sigma_{zz}) \\ \sigma_u &= \frac{1}{\sqrt{2}}\sqrt{(\sigma_{rr} - \sigma_{\theta\theta})^2 + (\sigma_{\theta\theta} - \sigma_{zz})^2 + (\sigma_{zz} - \sigma_{rr})^2 + 6(\sigma_{r\theta}^2 + \sigma_{\theta z}^2 + \sigma_{rz}^2)} \end{aligned} \quad (3.2)$$

В рассматриваемом плоском деформированном состоянии скорость осевой деформации ползучести $\dot{\rho}_{zz}$ принимается равной нулю:

$$\dot{\rho}_{zz} = 0 \quad (3.3)$$

Далее всюду будем обозначать $H_i(t)$ толщину мембраны на i -й стадии ($i = 1 \div 3$).

Примем, как обычно, для тонкостенных цилиндрических оболочек равенство:

$$\sigma_{rr} = 0 \quad (3.4)$$

в этом случае из гипотезы пропорциональности девиаторов напряжений и скоростей деформаций ползучести (3.2) при учете (3.4) следует:

$$\sigma_{zz} = 0.5\sigma_{\theta\theta}, \quad \sigma_u = \frac{\sqrt{3}}{2}\sigma_{\theta\theta} = \frac{\sqrt{3}}{2} \cdot \frac{q\rho}{H_0H_1} \quad (3.5)$$

Рассматривая два близких деформированных состояния мембраны, определим приращение окружной деформации ползучести, учитывая, что деформированное состояние однородное:

$$d\rho_{\theta\theta} = \frac{(\rho + d\rho)(\alpha + d\alpha) - \rho\alpha}{\rho\alpha} = \frac{d\rho}{\rho} + \frac{d\alpha}{\alpha}$$

Следовательно, скорость окружной деформации ползучести равна

$$\dot{\rho}_{\theta\theta} = \frac{\dot{\rho}}{\rho} + \frac{\dot{\alpha}}{\alpha} \quad (3.6)$$

Поскольку

$$\rho \sin \alpha = 1 \quad (3.7)$$

то

$$\dot{\rho} \sin \alpha + \rho \dot{\alpha} \cos \alpha = 0$$

Поэтому выражение (3.6) преобразуется к виду:

$$\dot{\rho}_{\theta\theta} = \left(\frac{1}{\alpha} - \text{ctg}\alpha \right) \dot{\alpha} \quad (3.8)$$

Из условия несжимаемости в случае плоского деформированного состояния получаем:

$$\begin{aligned} \dot{\rho}_{rr} + \dot{\rho}_{\theta\theta} + \dot{\rho}_{zz} &= 0, \quad \dot{\rho}_{zz} = 0, \quad \dot{\rho}_{rr} = -\dot{\rho}_{\theta\theta} \\ \dot{\rho}_u &= \frac{\sqrt{2}}{3} \sqrt{(\dot{\rho}_{rr} - \dot{\rho}_{\theta\theta})^2 + (\dot{\rho}_{\theta\theta} - \dot{\rho}_{zz})^2 + (\dot{\rho}_{zz} - \dot{\rho}_{rr})^2 + 6[(\dot{\rho}_{\theta r})^2 + (\dot{\rho}_{\theta z})^2 + (\dot{\rho}_{rz})^2]} \\ \dot{\rho}_u &= \frac{2}{\sqrt{3}} \dot{\rho}_{\theta\theta} \end{aligned} \quad (3.9)$$

Так как скорость радиальной деформации ползучести равна

$$\dot{r}_{rr} = \frac{\dot{H}_1}{H_1}$$

то согласно равенствам (3.8)–(3.9) получаем:

$$-\frac{\dot{H}_1}{H_1} = \left(\frac{1}{\alpha} - \text{ctg}\alpha \right) \dot{\alpha} \quad (3.10)$$

Проинтегрируем уравнение (3.10) при начальных условиях: $t = 0, \alpha = 0, H_1(0) = 1$:

$$H_1 = \frac{\sin \alpha}{\alpha} \quad (3.11)$$

Полученные выражения (2.1), (2.3), (3.5), (3.7), (3.9) и (3.11) позволяют представить окружное напряжение $\sigma_{\theta\theta}$ и интенсивность напряжений σ_u в зависимости от угла раствора α :

$$\sigma_{\theta\theta} = \frac{q\rho}{H_1 H_0} = \frac{q_0 k t \alpha}{H_0 \sin^2 \alpha}, \quad \sigma_u = \frac{\sqrt{3}}{2} \sigma_{\theta\theta} = \frac{\sqrt{3}}{2} \frac{q_0 \alpha k t}{H_0 \sin^2 \alpha} \quad (3.12)$$

Из (2.2) при учете (3.9) и (3.12) получаем зависимость угла раствора α от времени t :

$$\int_0^{t_1} t^n dt = \frac{t_1^{n+1}}{n+1} = \frac{2}{\sqrt{3}} \int_0^{\alpha_1} \left(\frac{1}{\alpha} - \text{ctg}\alpha \right) \left(\frac{2H_0 \sin^2 \alpha}{\sqrt{3} q_0 k \cdot \alpha} \right)^n d\alpha \quad (3.13)$$

При исследовании первой стадии деформирования мембраны угол α изменяется в диапазоне от $\alpha = 0$ до α_1 – угла, при котором происходит касание мембраной поперечной стороны матрицы: $2\alpha(t_1) = 2\alpha_1$

Введем новое безразмерное время:

$$\tau^n = \left(\frac{q_0}{H_0} \right)^n \cdot t^{n+1} \quad (3.14)$$

Из (3.13)–(3.14) следует:

$$\begin{aligned} \frac{\tau^n}{(n+1)} &= \left(\frac{q_0}{H_0} \right)^n \frac{t^{n+1}}{n+1} = \left(\frac{2}{\sqrt{3}} \right)^{n+1} \cdot \frac{1}{k^n} \int_0^{\alpha} \left(\frac{1}{\alpha} - \text{ctg}\alpha \right) \left(\frac{\sin^2 \alpha}{\alpha} \right)^n d\alpha \\ \tau_1^0 &= \tau(\alpha_1) = \left\{ (n+1) \cdot \left(\frac{2}{\sqrt{3}} \right)^{n+1} \cdot \frac{1}{k^n} \int_0^{\alpha_1} \left(\frac{1}{\alpha} - \text{ctg}\alpha \right) \left(\frac{\sin^2 \alpha}{\alpha} \right)^n d\alpha \right\}^{\frac{1}{n}} \end{aligned}$$

В конце первой стадии ($\tau = \tau_1^0$) максимальный раствор мембраны равен: $2\alpha(\tau_1^0) = 2\alpha_1$. Момент времени τ_1^0 , при котором происходит окончание первой стадии, и толщина мембраны $H_1^0 = H(\tau_1^0)$, вычисляемая с учетом зависимости (3.11), определяются согласно уравнениям:

$$\begin{aligned} \tau_1^0 &= \tau \left(\alpha = \alpha_1 = \arcsin \left(\frac{2b}{1+b^2} \right) \right) \\ H_1^0 &= H_1(\tau = \tau_1^0) = \frac{\sin \alpha_1}{\alpha_1} = \left(\frac{2b}{(1+b^2) \arcsin \left(\frac{2b}{1+b^2} \right)} \right) \end{aligned} \quad (3.15)$$

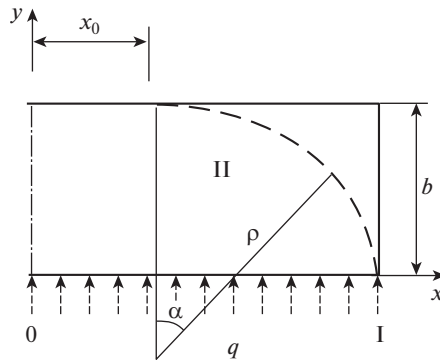


Рис. 4. Вторая стадия (идеальное скольжение и прилипание).

Далее рассматривается ползучесть мембраны внутри жесткой матрицы при различных контактных условиях.

4. Идеальное скольжение мембраны вдоль сторон матрицы. 4.1. Вторая стадия ($0 \leq x_0 \leq 1 - b$). Решение задачи имеет различный характер для относительно высокой матрицы ($b \geq 1$) и относительно низкой матрицы ($b \leq 1$). Для определенности в данной работе рассмотрена ползучесть мембраны внутри относительно низкой матрицы ($b \leq 1$).

В связи с осевой симметрией мембраны и матрицы в процессе второй стадии рассматривается ползучесть правой половины мембраны в координатах $0 \leq x \leq 1 - b$, $0 \leq y \leq b$ (рис. 4).

Свободное деформирование мембраны было рассмотрено в предыдущем параграфе 3. В некоторый момент времени ($t = t_1$) мембрана соприкасается с поперечной стенкой матрицы. На этом свободное деформирование заканчивается, и в дальнейшем при $t > t_1$ часть поверхности мембраны прилегает к поперечной поверхности матрицы.

При исследовании второй стадии ползучести мембраны выделим два близких деформированных состояния: одно характеризуется длиной участка контакта x_0 , а другое – длиной участка контакта $(x_0 + dx_0)$. С помощью геометрических соотношений (рис. 4) получим соотношение для приращения окружной деформации ползучести $dp_{\theta\theta}$ в виде:

$$dp_{\theta\theta} = \frac{(\rho d\alpha + \alpha d\rho) + dx_0}{\rho\alpha + x_0} \quad (4.1)$$

Каждое из слагаемых числителя (4.1) содержит множитель dx_0 , следовательно, можно их сгруппировать и ввести обозначения

$$\begin{aligned} \rho d\alpha + \alpha d\rho + dx_0 &= B_1(x_0) dx_0 \\ \rho\alpha + x_0 &= B_2(x_0) \end{aligned} \quad (4.2)$$

В этом случае

$$dp_{\theta\theta} = \frac{B_1(x_0) dx_0}{B_2(x_0)} \quad (4.3)$$

С помощью (4.3) вычислим характеристики деформированного состояния

$$\dot{p}_{\theta\theta} = \frac{B_1 dx_0}{B_2 dt}, \quad d\dot{p}_u = \frac{2}{\sqrt{3}} \frac{B_1 dx_0}{B_2 dt}$$

Проектируя наклонный радиус ρ (рис. 4) на горизонталь и вертикаль, получим следующие два уравнения:

$$\rho \sin \alpha = (1 - x_0)$$

$$\rho \cos \alpha = (\rho - b)$$

в результате получаем $\rho^2 = (1 - x_0)^2 + (\rho - b)^2$

Отсюда

$$(1 - x_0)^2 - 2\rho b + b^2 = 0, \quad \rho = \frac{(1 - x_0)^2 + b^2}{2b}$$

$$\operatorname{tg} \alpha = \frac{(1 - x_0)}{(\rho - b)} = \frac{2b(1 - x_0)}{[(1 - x_0)^2 - b^2]}$$

Дифференциалы $d\rho(x_0)$ и $d\alpha(x_0)$ принимают следующий вид

$$d\rho = -\frac{2(1 - x_0)}{2b} dx_0 = -\frac{(1 - x_0)}{b} dx_0$$

$$\begin{aligned} d\alpha &= d(\operatorname{arc} \operatorname{tg} \alpha(x_0)) = d\left(\operatorname{arc} \operatorname{tg} \frac{2b(1 - x_0)}{[(1 - x_0)^2 - b^2]}\right) = \\ &= \frac{-2b}{(1 - x_0)^2 - b^2} + \frac{4b(1 - x_0)^2}{[(1 - x_0)^2 - b^2]^2} dx_0 = \frac{-2b[(1 - x_0)^2 - b^2] + 4b(1 - x_0)^2}{4b^2(1 - x_0)^2 + [(1 - x_0)^2 - b^2]^2} dx_0 = \\ &= \frac{2b}{[(1 - x_0)^2 + b^2]} dx_0 \end{aligned}$$

Подставляя $d\rho(x_0)$ и $d\alpha(x_0)$ в (4.2), получим

$$\begin{aligned} \rho d\alpha &= \frac{(1 - x_0)^2 + b^2}{2b} \frac{2b}{[(1 - x_0)^2 + b^2]} dx_0 = dx_0, \\ \alpha d\rho &= \alpha \left[-\frac{2(1 - x_0)}{2b} \right] dx_0 = -\frac{(1 - x_0)}{b} \alpha dx_0 \\ B_1(x_0) dx_0 &= -\frac{1 - x_0}{b} \left(\operatorname{arctg} \left(\frac{2b(1 - x_0)}{[(1 - x_0)^2 - b^2]} \right) \right) dx_0 + 2dx_0 \\ B_2(x_0) &= \frac{[(1 - x_0)^2 + b^2]}{2b} \left(\operatorname{arctg} \left(\frac{2b(1 - x_0)}{[(1 - x_0)^2 - b^2]} \right) \right) + x_0 \end{aligned}$$

Из условия несжимаемости при учете (3.3) получаем: $d\dot{p}_{\theta\theta} = -d\dot{p}_{rr}$

Согласно определению \dot{p}_{rr} имеем $\dot{p}_{rr} = \frac{\dot{H}_2}{H_2}$. Следовательно,

$$\begin{aligned} \dot{p}_{\theta\theta} &= -\frac{\dot{H}_2}{H_2}, & dp_{\theta\theta} &= \frac{B_1(x_0) dx_0}{B_2(x_0)} = -\frac{dH_2}{H_2} \\ \int_{H_1^0}^{H_2(x_0)} \frac{dH_2}{H_2} &= -\int_0^{x_0} \frac{B_1(x_0) dx_0}{B_2(x_0)}, & H_2(x_0) &= H_1^0 \exp \left[-\int_0^{x_0} \frac{B_1(x_0) dx_0}{B_2(x_0)} \right] \\ H_2^0 &= H_2(x_0 = 1 - b) = \frac{1}{\left(1 - b + \frac{1}{2} \pi b\right)} \end{aligned}$$

Последнее равенство следует из учета постоянства толщины H мембраны вдоль всего рассматриваемого участка мембраны в конце второй стадии. Интенсивности деформаций ползучести и напряжений определяются следующими выражениями:

$$\dot{p}_u = \frac{2}{\sqrt{3}} \dot{p}_{\theta\theta}, \quad \sigma_u = \frac{\sqrt{3}}{2} \sigma_{\theta\theta} = \frac{\sqrt{3}}{2} \frac{q(t) \rho}{H_0 H_2(x_0)}$$

Подставляя эти выражения в (2.2), получаем связь x_0 и t :

$$\begin{aligned} \frac{2}{\sqrt{3}} \frac{B_1(x_0) dx_0}{B_2(x_0) dt} &= \left[\frac{\sqrt{3}}{2} \frac{q\rho}{H_0 H_2(x_0)} \right]^n \\ \int_{t_1}^{t_2} t^n dt &= \int_0^{x_0} \frac{\frac{2}{\sqrt{3}} \frac{B_1(x_0)}{B_2(x_0)}}{\left[\frac{\sqrt{3}}{2} \frac{q_0 k \rho}{H_0 H_2(x_0)} \right]^n} dx_0 = \int_0^{x_0} \frac{\frac{2}{\sqrt{3}} \frac{B_1(x_0)}{B_2(x_0)}}{\left[\frac{\sqrt{3} q_0 k ((1-x_0)^2 + b^2)}{4 H_0 H_2(x_0) b} \right]^n} dx_0, \quad t_2 = t(x_0 = 1 - b) \end{aligned}$$

Используя замену (3.14), получим:

$$\tau_2(x_0) = \left((\tau_1^0)^n + (n+1) \frac{1}{k^n} \int_0^{x_0} \frac{\frac{2}{\sqrt{3}} \frac{B_1(x_0)}{B_2(x_0)}}{\left[\frac{\sqrt{3} ((1-x_0)^2 + b^2)}{4 H_2(x_0) b} \right]^n} dx_0 \right)^{\frac{1}{n}}, \quad \tau_2^0 = \tau(x_0 = 1 - b)$$

4.2. *Третья стадия* ($1 - b \leq x_0 \leq 1 - \Delta$). На третьей стадии ползучести мембрана касается обеих сторон матрицы ($1 - b \leq x_0 \leq 1 - \Delta$, $0 \leq y_0 \leq b$) (рис. 5). При этом профиль мембраны представляет собой полуокружность радиуса $(1 - x_0)$ и размеры областей контакта по продольной и поперечной осям равны $(x_0 - (1 - b)) = y_0$. С учетом принятых допущений компоненты тензора деформаций ползучести примут вид:

$$\begin{aligned} dp_{\theta\theta} &= \frac{\left(2 - \frac{\pi}{2}\right) dx_0}{\left[2x_0 + \frac{\pi}{2}(1 - x_0) + (1 - b)\right]} = \frac{(2 - 0.5\pi) dx_0}{[(b + 0.5\pi - 1) + (2 - 0.5\pi)x_0]} \\ dp_{\theta\theta} &= F(x_0) dx_0, \quad F(x_0) = \frac{(2 - 0.5\pi)}{[(b + 0.5\pi - 1) + (2 - 0.5\pi)x_0]} \end{aligned}$$

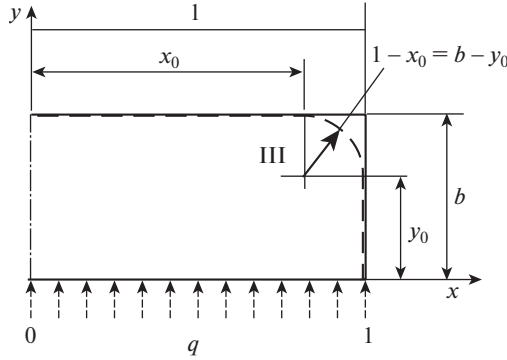


Рис. 5. Третья стадия (идеальное скольжение и прилипание).

$$p_{\theta\theta} = - \int_{H_2^0}^{H_3(x_0)} \frac{dH_3}{H_3} = \int_{1-b}^{x_0} F(x_0) dx_0 = \ln \frac{H_2^0}{H_3(x_0)} = \ln \left[\frac{(b + 0.5\pi - 1) + (2 - 0.5\pi) x_0}{1 - b + 0.5\pi b} \right]$$

$$H_3(x_0) = H_2^0 \frac{1 - b + 0.5\pi b}{[(b + 0.5\pi - 1) + (2 - 0.5\pi) x_0]} = \frac{1}{[(b + 0.5\pi - 1) + (2 - 0.5\pi) x_0]}$$

Окончание третьей стадии происходит при значении x_0^0 , удовлетворяющем неравенству $(1 - x_0^0) = \Delta \ll 1$, где $(1 - x_0^0)$ – радиус кривизны мембраны вблизи угла матрицы.

Интенсивность напряжений определяется следующим соотношением:

$$\sigma_u(x_0) = \frac{\sqrt{3}}{2} \frac{q\rho}{H_0 \cdot H_3(x_0)}, \quad \rho = 1 - x_0$$

$$\sigma_u(x_0) = \frac{\sqrt{3}}{2} \frac{q}{H_0} \cdot [(b + 0.5\pi - 1) + (2 - 0.5\pi) x_0] \cdot (1 - x_0)$$

Интенсивность скоростей деформаций ползучести равна:

$$\dot{p}_u = \frac{2}{\sqrt{3}} F(x_0) \frac{dx_0}{dt} = \frac{2}{\sqrt{3}} \cdot \frac{(2 - 0.5\pi)}{[(b + 0.5\pi - 1) + (2 - 0.5\pi) x_0]} \frac{dx_0}{dt}$$

Подставляя σ_u и \dot{p}_u в (2.2), получаем:

$$\frac{2}{\sqrt{3}} \cdot \frac{(2 - 0.5\pi)}{[b + (0.5\pi - 1) + (2 - 0.5\pi) x_0]} \cdot \frac{dx_0}{dt} =$$

$$= \left[\frac{\sqrt{3}}{2} \cdot \frac{q}{H_0} [(b + 0.5\pi - 1) + (2 - 0.5\pi) x_0] \cdot (1 - x_0) \right]^n$$

Отсюда

$$t_3^{n+1}(x_0) = t_2^{n+1} + (n+1) \left(\frac{2}{\sqrt{3}} \right)^{(n+1)} \left(\frac{H_0}{kq_0} \right)^n \int_{1-b}^{x_0} \frac{(2 - 0.5\pi) dx_0}{[b + (0.5\pi - 1) + (2 - 0.5\pi) x_0]^{(n+1)} (1 - x_0)^n}$$

Используя замену (3.14), получим:

$$\tau_3(x_0) = \left[(\tau_2^0)^n + (n+1) \left(\frac{2}{\sqrt{3}} \right)^{(n+1)} \cdot \left(\frac{1}{k^n} \right) \cdot \int_{1-b}^{x_0} \frac{(2 - 0.5\pi) dx_0}{[b + (0.5\pi - 1) + (2 - 0.5\pi)x_0]^{(n+1)} \cdot (1 - x_0)^n} \right]^{\frac{1}{n}} \quad (4.4)$$

Время τ_3^0 практически полного заполнения матрицы мембраной определяется выражением (4.11) при замене в верхнем пределе интегрирования x_0 на $x_0^0 = 1 - \Delta$:

$$\tau_3^0 = \tau_3(x_0^0 = 1 - \Delta)$$

5. Прилипание мембраны вдоль сторон матрицы. 5.1. *Вторая стадия* ($0 \leq x_0 \leq 1 - b$). В случае постепенного прилипания материала мембраны к матрице ее контактная часть (с переменной толщиной) не деформируется, а свободная часть (с постоянной толщиной) представляет собой часть дуги окружности. Окружная деформация в свободной части мембраны имеет вид (рис. 4):

$$dp_{\theta\theta} = \frac{(\rho d\alpha + \alpha d\rho) + dx_0}{\rho\alpha}$$

Аналогично (4.2) можно получить выражение

$$B_3(x_0) = \rho\alpha = \frac{[(1 - x_0)^2 + b^2]}{2b} \left(\arctg \left(\frac{2b(1 - x_0)}{[(1 - x_0)^2 - b^2]} \right) \right)$$

$$dp_{\theta\theta} = \frac{B_1(x_0) dx_0}{B_3(x_0)}$$

Как известно, $\dot{p}_{rr} = \frac{\dot{H}_2}{H_2}$. Из условия несжимаемости $\dot{p}_{\theta\theta} = -\dot{p}_{rr}$, так что

$$\dot{p}_{\theta\theta} = -\frac{\dot{H}_2(x_0)}{H_2(x_0)}, \quad dp_{\theta\theta} = -\frac{dH_2}{H_2} = \frac{B_1(x_0) dx_0}{B_3(x_0)}$$

$$\int_{H_1^0}^{H_2(x_0)} \frac{dH_2}{H_2} = -\int_0^{x_0} \frac{B_1(x_0) dx_0}{B_3(x_0)}, \quad H_2(x_0) = H_1^0 \exp \left[-\int_0^{x_0} \frac{B_1(x_0) dx_0}{B_3(x_0)} \right], \quad H_2^0 = H_2(x_0 = 1 - b)$$

Интенсивности σ_u и \dot{p}_u равны соответственно:

$$\sigma_u = \frac{\sqrt{3}}{2} \sigma_{\theta\theta} = \frac{\sqrt{3}}{2} \frac{q\rho}{H_0 H_2(x_0)}, \quad \dot{p}_u = \frac{2}{\sqrt{3}} \dot{p}_{\theta\theta}$$

Подставляя выражения σ_u и \dot{p}_u в (2.2), получаем:

$$t_2^{n+1} = t_1^{n+1} + (n+1) \int_0^{x_0} \frac{\frac{2}{\sqrt{3}} \frac{B_1(x_0) dx_0}{B_3(x_0)}}{\left[\frac{\sqrt{3}}{2} \frac{kq_0\rho}{H_0 H_2(x_0)} \right]^n} dx_0 = t_1^{n+1} + (n+1) \frac{1}{k^n} \left(\frac{H_0}{q_0} \right)^n \int_0^{x_0} \frac{\frac{2}{\sqrt{3}} \frac{B_1(x_0)}{B_3(x_0)}}{\left[\frac{\sqrt{3}}{4} \frac{((1 - x_0)^2 + b^2)}{H_2(x_0)b} \right]^n} dx_0$$

Используя замену (3.14), получим:

$$\tau_2(x_0) = \left[(\tau_1^0)^n + (n+1) \left(\frac{4}{\sqrt{3}} \right)^{(n+1)} \cdot \left(\frac{1}{2k^n} \right) \cdot \int_0^{x_0} \frac{\frac{B_1(x_0)}{B_3(x_0)}}{\left[\frac{((1-x_0)^2 + b^2)}{H_2(x_0)b} \right]^n} dx_0 \right]^{\frac{1}{n}}, \quad \tau_2^0 = \tau(x_0 = 1-b)$$

5.2. Третья стадия ($1-b \leq x_0 \leq 1-\Delta$). На третьей стадии ползучесть мембраны характеризуется касанием ею продольных и поперечной сторон матрицы (рис. 5):

$$\begin{aligned} dp_{\theta\theta} &= \frac{[b-1+2(x_0+dx_0)+0.5\pi(1-(x_0+dx_0))] - [b-1+2x_0+0.5\pi(1-x_0)]}{[0.5\pi(1-x_0)]} = \\ &= \frac{(2-0.5\pi)dx_0}{[0.5\pi(1-x_0)]} \\ dp_{\theta\theta} &= F(x_0)dx_0, \quad F(x_0) = \frac{2-0.5\pi}{0.5\pi(1-x_0)} = \frac{4-\pi}{\pi(1-x_0)} \\ p_{\theta\theta} &= - \int_{H_2^0}^{H_3(x_0)} \frac{dH_3}{H_3} = \int_{1-b}^{x_0} F(x_0)dx_0 = \ln \frac{H_2^0}{H_3(x_0)} = \frac{4-\pi}{\pi} \ln \left[\frac{b}{(1-x_0)} \right] \\ \frac{H_2^0}{H_3(x_0)} &= \left(\frac{b}{(1-x_0)} \right)^{\frac{(4-\pi)}{\pi}}, \quad H_3(x_0) = H_2^0 \left(\frac{b}{(1-x_0)} \right)^{-\frac{(4-\pi)}{\pi}} \end{aligned}$$

Окончание третьей стадии происходит при значении x_0^0 , удовлетворяющем неравенству $(1-x_0^0) = \Delta \ll 1$.

Интенсивность напряжений определяется следующим соотношением:

$$\sigma_u(x_0) = \frac{\sqrt{3}}{2} \frac{q\rho}{H_3(x_0)H_0}, \quad \rho = 1-x_0, \quad \sigma_u(x_0) = \frac{\sqrt{3}}{2} \frac{q}{H_0} \frac{(1-x_0)}{H_3(x_0)} \quad (5.1)$$

Интенсивность скоростей деформаций ползучести равна:

$$\dot{\rho}_u = \frac{2}{\sqrt{3}} \frac{(4-\pi)}{\pi} \cdot \frac{1}{(1-x_0)} \frac{dx_0}{dt} \quad (5.2)$$

Подставляя (5.1) и (5.2) в (2.2), получаем:

$$\begin{aligned} t_3^{n+1}(x_0) &= t_2^{n+1} + \frac{2}{\sqrt{3}} (n+1) \int_{1-b}^{x_0} \left[\frac{2H_3H_0}{\sqrt{3}q_0k(1-x_0)} \right]^n \frac{(4-\pi)dx_0}{\pi(1-x_0)} = \\ &= t_2^{n+1} + \left(\frac{2}{\sqrt{3}} \right)^{(n+1)} (n+1) \cdot \left(\frac{H_0}{q_0k} \right)^n \cdot \int_{1-b}^{x_0} \left(\frac{4-\pi}{\pi} \right) \cdot \frac{(H_3(x_0))^n}{(1-x_0)^{(n+1)}} dx_0 \end{aligned}$$

Используя замену (3.14), получим:

$$\tau_3(x_0) = \left[(\tau_2^0)^n + \left(\frac{2}{\sqrt{3}} \right)^{(n+1)} (n+1) \cdot \left(\frac{1}{k^n} \right) \int_{1-b}^{x_0} \left(\frac{4-\pi}{\pi} \right) \cdot \frac{(H_3(x_0))^n}{(1-x_0)^{(n+1)}} dx_0 \right]^{\frac{1}{n}}$$

Время практически полного прилегания мембраны к матрице определяется выражением:

$$\tau_3^0 = \tau_3(x_0 = x_0^0)$$

Таблица 1. Значения времен τ_1^0 , τ_2^0 и τ_3^0 в конце каждой стадии в случае идеального скольжения

k	τ_1^0	τ_2^0	$\Delta = 0.01$	$\Delta = 0.001$	$\Delta = 0.0001$
			τ_3^0	τ_3^0	τ_3^0
0.5	1.14	2.23	29.1	134.2	622
1.0	0.568	1.12	14.6	67.1	311
1.5	0.379	0.745	9.70	44.7	207

Таблица 2. Значения времен τ_1^0 , τ_2^0 и τ_3^0 в конце каждой стадии в случае прилипания

k	τ_1^0	τ_2^0	$\Delta = 0.01$	$\Delta = 0.001$	$\Delta = 0.0001$
			τ_3^0	τ_3^0	τ_3^0
0.5	1.14	2.45	49.7	264.8	1411.0
1.0	0.568	1.22	24.8	132.4	705.7
1.5	0.379	0.816	16.6	88.2	470.5

6. Анализ результатов. В качестве примера рассмотрим ползучесть мембраны внутри матрицы высотой $b = 0.5$ со следующими выбранными параметрами:

$$n = 3, \quad k = 0.5, 1.0, 1.5, \quad \Delta = 0.01, 0.001, 0.0001$$

Величина $\Delta = 1 - x_0^0$ соответствует минимальному расстоянию между поперечной стороной матрицы и мембраной.

Значения времен τ_1^0 , τ_2^0 и τ_3^0 в конце каждой стадии приведены в таблицах 1 и 2 для идеального скольжения и прилипания соответственно. На рис. 6 приведены зависимости $\alpha(\tau_1)$ в случае свободного деформирования, на рис. 7 – зависимости $x_0(\tau)$ в случае идеального скольжения (сплошная кривая) и зависимости $x_0(\tau)$ в случае прилипания (пунктирная кривая) при $\Delta = 0.01$.

Вычисления показывают, что при заданных значениях используемых параметров длительность деформирования мембраны вплоть до практически полного прилегания мембраны к матрице при идеальном скольжении меньше, чем при прилипании. При степенях близости мембраны к матрице $\Delta = 0.01$, $\Delta = 0.001$, $\Delta = 0.0001$ отношения этих времен при различных значениях k и Δ составляют значения от 0.43 до 0.59.

7. Заключение. Приведено исследование ползучести длинной прямоугольной мембраны в стесненных условиях (внутри жесткой матрицы) под действием переменного поперечного давления, величина которого пропорциональна длительности его действия. В данной работе принимается, что высота матрицы не больше половины ее ширины. Рассматриваются два варианта условий на контакте мембраны и матрицы: идеальное скольжение и прилипание. В работе рассматриваются три последовательные стадии деформирования мембраны: ползучесть в свободных условиях, ползучесть мембраны при контакте с поперечной стороной матрицы и ползучесть мембраны при контакте со всеми сторонами матрицы. Анализ проводится до времени практически полного прилегания мембраны к матрице. Показано, что это время при условии идеального скольжения меньше, чем при условии прилипания при рассмотренных значениях n , k и Δ .

Работа выполнена при частичной финансовой поддержке Российского научного фонда (проект № 19-19-00062).

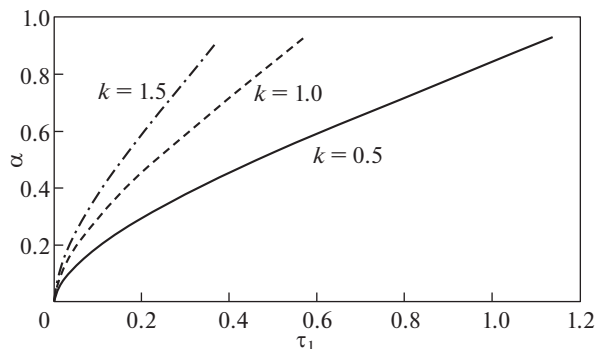


Рис. 6. Зависимости $\alpha(\tau_1)$ на первой стадии деформирования.

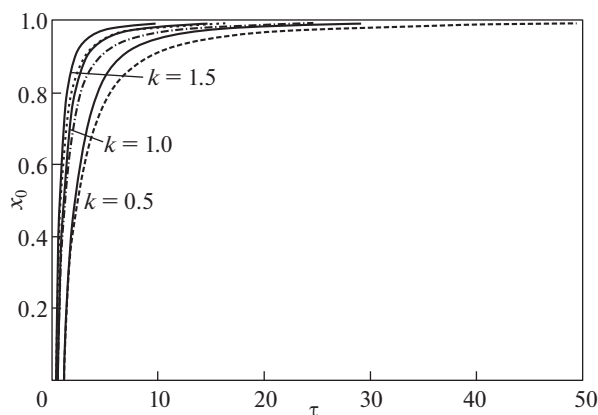


Рис. 7. Зависимости $x_0(\tau)$ в случае идеального скольжения (сплошная) и прилипания (пунктирная линия).

СПИСОК ЛИТЕРАТУРЫ

1. *Odqvist F.K.G.* Mathematical theory of creep and creep rupture. Second edition. Oxford at the Clarendon Press, 1974. 200 p.
2. *Качанов Л.М.* Основы механики разрушения. М.: Наука, 1974. 312 с.
3. *Storakers B.* Finite creep of a circular membrane under hydrostatic pressure // Acta Polytech. Scand. Mech. Eng. Ser. 1969. № 44. 107 pp.
4. *Apratim Majumder, Chayanjit Ghosh, Mohit U. Karkhanis, Aishwaryadev Banerjee, Rugved Likhite, Carlos H. Mastrangelo, and Tridib Ghosh.* Creep deformation in elastomeric membranes of liquid-filled tunable-focus lenses // Appl. Optics. 2019. V. 58. № 23. P. 6446–6454. <https://doi.org/10.1364/AO.58.006446>
5. *Wineman A.* Nonlinear viscoelastic membranes // Comput. Math. Appl. 2007. V. 53. № 2. P 168–181. <https://doi.org/10.1016/j.camwa.2006.02.017>
6. *Ларин С.Н., Бессмертный А.В.* Изотермическое свободное деформирование узкой прямоугольной мембраны из анизотропного листового материала при кратковременной ползучести // Известия ТулГУ. Сер. Технические науки. 2010. № 1. С. 44–51.

7. Яковлев С.С., Ларин С.Н. Деформирование анизотропной прямоугольной мембраны в условиях ползучести // Известия ТулГУ. Сер. Технические науки. 2010. № 3. С. 37–46.
8. Яковлев С.П., Чудин В.Н., Яковлев С.С., Соболев Я.А. Изотермическое деформирование высокопрочных анизотропных металлов. М.: Машиностроение, Изд-во ТулГУ, 2004. 427 с.
9. Ефимов А.Б., Романюк С.Н., Чумаченко Е.Н. Об определении закономерностей трения в процессах обработки металлов давлением // Изв. РАН. МТТ. 1995. № 6. С. 82–98.
10. Малинин Н.Н. Ползучесть в обработке металлов. М.: Машиностроение, 1986. 216 с.
11. Локощенко А.М. Ползучесть и длительная прочность металлов М.: Физматлит, 2016. 504 с. (Lokoshchenko A.M. Creep and long-term strength of metals. Boca. Raton. London. NewYork: CRC Press. Taylor & Francis Group, 2018.)
12. Локощенко А.М., Терауд В.В. Ползучесть длинной узкой мембраны в стесненных условиях вплоть до разрушения // ПМТФ. 2013. Т. 54. № 3. С. 126–133.
13. Демин В.А., Локощенко А.М., Жеребцов А.А. Ползучесть длинной прямоугольной мембраны внутри криволинейной матрицы // Изв. вузов. Машиностроение. 1998. № 4–6. С. 41–46.
14. Шестериков С.А., Юмашева М.А. Конкретизация уравнения состояния в теории ползучести // Известия АН СССР. МТТ. 1984. № 1. С. 86–91.
15. Локощенко А.М., Абросимова Е.А. Установившаяся ползучесть длинной мембраны внутри жесткой матрицы при кусочно-постоянной зависимости скорости поперечного давления от времени // ПМТФ. 2019. № 1. С. 103–113.
<https://doi.org/10.15372/PMTF20190112>
16. Терауд В.В., Локощенко А.М., Шеварова Е.А. Ползучесть мембраны внутри П-образной матрицы при переменном поперечном давлении // Сборник трудов в 4 томах. XII Всероссийский съезд по фундаментальным проблемам теоретической и прикладной механики. Т. 3: Механика деформируемого твердого тела. – Уфа: РИЦ БашГУ. 2019. С. 382–384.
<https://doi.org/10.22226/2410-3535-2019-congress-v3>
17. Nhung Nguyen, Wineman A., Waas A. Contact problem of a non-linear viscoelastic spherical membrane enclosing incompressible fluid between two rigid parallel plates // Int. J. Non-Lin. Mech. 2013. V. 50. P. 97–108.
<https://doi.org/10.1016/j.ijnonlinmec.2012.11.009>
18. Васин Р.А., Еникеев Ф.У., Круглов А.А., Сафиуллин Р.В. Об идентификации определяющих соотношений по результатам технологических экспериментов // Изв. РАН. МТТ. 2003. № 2. С. 111–123.
19. Сафиуллин Р.В., Еникеев Ф.У. Расчет режимов сверхпластической формовки протяженной прямоугольной мембраны // Кузнечно-штамповочное производство. Обработка материалов давлением. 2001. № 3. С. 35–40.
20. Srivastava A., Hui C.-Y. Nonlinear viscoelastic contact mechanics of long rectangular membranes // Proc. Royal Soc. A: Math. Phys. Eng. Sci. 2014. A V. 470. P. 20140528.
<https://doi.org/10.1098/rspa.2014.0528>
21. Long R., Shull K., Hui C.-Y. Large deformation adhesive contact mechanics of circular membranes with a flat rigid substrate // J. Mech. Phys. Solids. 2010. V. 58. № 9. P. 1225–1242.
<https://doi.org/10.1016/j.jmps.2010.06.007>
22. Srivastava A., Hui C.-Y. Large deformation contact mechanics of long rectangular membranes. I. Adhesionless contact // Proc. Roy. Soc. A: Math. Phys. Eng. Sci. 2013. A 469: P. 20130424.
<https://doi.org/10.1098/rspa.2013.0424>